分子線エピタキシー法による Te 添加 CuGaSz 薄膜の作製と評価

MBE Growth and Characterization of Te-doped CuGaS₂ Thin Films O松下将也, 倉掛真弥, 山田秀明, 髙村健, 馬場﨑巧, 阿部友紀, 市野邦男(鳥取大院工)

[°]Masaya Matsushita, Masaya Kurakake, Hideaki Yamada, Tsuyoshi Takamura, Takumi Babasaki, Tomoki Abe, Kunio Ichino (Tottori Univ.)

E-mail: m15t3037@faraday.ele.tottori-u.ac.jp

[背景・目的] ZnS 中に添加された Te は等電子トラップを形成することが知られているが、ZnS_L, Te_x 混晶のxが小さい領域におけるバンドギャップ変化がTeによる局在準位と価電子帯の相互作用による バンド反交差(band-anticrossing: BAC)モデルで説明できることが報告されている[1]。同じく硫化物半導 体である Te 添加 CuGaS2 において BAC による Te 起源の準位を形成することができれば、中間バンド 型太陽電池として利用できる可能性があるが、これまで CuGaS2: Te の作製の報告はない。そこで本研 究ではまず、CuGaS₂:Te の作製条件を検討した。

[実験方法] MBE法によってp-GaP(001)基板上にTe添加 Table 1. Growth condition and Te content of CuGaS₂ した CuGaS₂薄膜を作製し、高分解能 X 線回折(XRD)測定、 エネルギー分散型 X 線回折(EDX)測定、フォトルミネッセ ンス(PL)測定等を行った。

[実験結果] Te 添加の CuGaS2の評価を行うため EDX に よる Te 組成についての Te セル温度(T_{Te})、S タンク温度(T_{S}) について調べた。T_S=155℃の場合にはTe セルの温度を変化 させてもほとんど Te が添加されなかった。これは Te が S よりも結晶に取り込まれにくいためであると考えられる。 そこで T_S を下げてSの供給量を減らしたところ、 T_S が低く なるほど、Te 組成が多くなるという結果が得られた。図1 はTe 添加した CuGaS₂ と無添加 CuGaS₂の XRD パターンの 比較である。無添加 CuGaS₂、Te 添加 CuGaS₂(T_S=120°C、 T_{Te}=230°C)について 72° 付近にピーク(CuGaS₂(008))が見ら れたが無添加 CuGaS2 に比べ、Te 添加 CuGaS2のピーク位置 が低角度側にシフトしている。これはTe添加CuGaS2が多 結晶気味になっていることが原因だと考えられる。また Te 添加 CuGaS2 では上記のピークの他に低角度側にピークが 見られた。図 2 は Te 添加した CuGaS₂(T_S=130°C、 T_{Te} =230°C) と無添加 CuGaS2の PL スペクトルの比較である。無添加 CuGaS2は540nm付近にピークが見られた。これはCuGaS2 のドナー・アクセプタペア(DAP)発光であると考えられる。 Te 添加した CuGaS。に見られる 520nm 付近のピークは無添 加 CuGaS2 では確認されなかったため、Te に関する発光だ と考えられる。 また 560nm 付近のピークは DAP だと考え られるが無添加の場合と比較するとピーク位置やピーク形 状が異なっている。

[まとめ] Te 組成の変化について、S 供給量が多い 条件では Te がほとんど添加されなかったが、S 供給 量を下げることで Te 添加が可能になった。PL スペク トルにおいて、Te添加したCuGaS2では無添加CuGaS2 にはない、Te に起因すると思われるピークが確認さ れた。

T _s [°C]	T _{Te} [°C]	[Te]/([S]+[Te])[%]
155	210	0.21
155	225	0.10
155	230	0.28
130	230	0.04
120	230	14.81
110	230	52.64

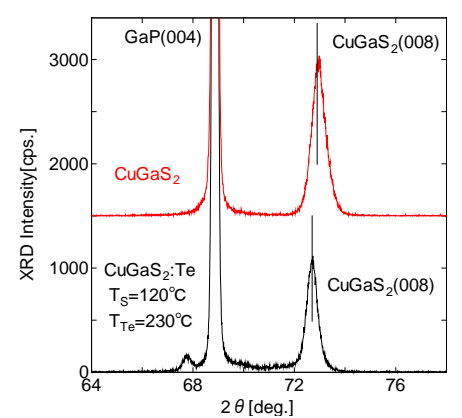


Fig 1. XRD pattern of CuGaS₂ and CuGaS₂:Te

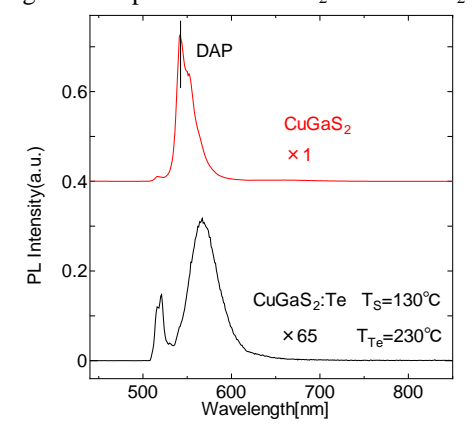


Fig 2. PL spectra of CuGaS₂ and CuGaS₂:Te

[1]J.Wu et al., Phys Rev.B67, 035207(2003)